

舞鶴工業高等専門学校 正会員 ○武田八郎  
 関西大学工学部 正会員 三上市蔵  
 関西大学工学部 正会員 米沢博

まえがき プレートガーダーの適用支間を増大させるためには、多数の水平補剛材で補剛された腹板を用いることが必要になる。特に2主桁式へのこの方法の適用が注目されているようであるが、従来から多補剛された腹板を有するプレートガーダーの曲げ耐荷力の研究はあまり多くないようである。今回は、水平・鉛直両方向に多補剛された腹板を有するプレートガーダーの曲げ耐荷力を、フランジと補剛腹板との非弾性連成座屈として解析し、座屈荷重を求め、補剛腹板の曲げ剛度が座屈荷重に及ぼす影響について考察した。

基礎微分方程式 図-1のように長さ  $a$ 、幅  $b$  である多補剛された腹板を有するプレートガーダーが、曲げを受けるものとする。多補剛腹板の境界条件は、 $x = 0$ 、 $a$  で単純支持、圧縮および引張フランジで弾性支持かよび弾性固定されているものとする。両フランジは腹板部分の最大応力をフランジ全断面に一様に受けるものとする。この多補剛腹板を直交異方性板みななし、座屈時のたわみ曲面の微分方程式として、直交異方性変剛板に対するものを用いる<sup>1)</sup>。

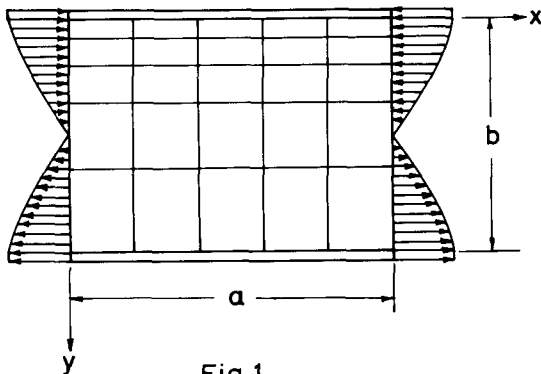


Fig.1

$$\begin{aligned} & \frac{\partial^4 w}{\partial x^4} + 2(\theta_1 + 2\theta_{xy}) \frac{\partial^4 w}{\partial x^2 \partial y^2} + \theta_2 \frac{\partial^4 w}{\partial y^4} \\ & + 2 \left[ \frac{\partial^2 x}{\partial x^3} \frac{\partial^3 w}{\partial x^3} + \frac{\partial}{\partial y} (\theta_1 + 2\theta_{xy}) \frac{\partial^3 w}{\partial x^2 \partial y} + \frac{\partial}{\partial x} (\theta_1 + 2\theta_{xy}) \frac{\partial^3 w}{\partial x \partial y^2} + \frac{\partial^2 y}{\partial y^3} \frac{\partial^3 w}{\partial y^3} \right] + \left( \frac{\partial^2 \theta_x}{\partial x^2} + \frac{\partial^2 \theta_y}{\partial y^2} \right) \frac{\partial^2 w}{\partial x^2} + 4 \frac{\partial^2 \theta_{xy}}{\partial x \partial y} \frac{\partial^2 w}{\partial x \partial y} \\ & + \left( \frac{\partial^2 \theta_x}{\partial x^2} + \frac{\partial^2 \theta_y}{\partial y^2} \right) \frac{\partial^2 w}{\partial y^2} = \rho_0 \frac{\partial^2 w}{\partial t^2} \end{aligned} \quad \text{---(1)}$$

ただし、 $\theta_x$ 、 $\theta_y$  はそれぞれ水平かよび鉛直補剛材方向の曲げ剛性、 $\theta_1$ 、 $2\theta_{xy}$  はねじり剛性、 $\rho_0$  は腹板厚、 $\rho$  は  $x$  方向の直応力である。

圧縮フランジに対する微分方程式はつきのようである。

$$\frac{d^2}{dx^2} \left( B_b \frac{d^2 w_b}{dx^2} \right) - \frac{d}{dx} \left[ F(\theta_x)_{y=0} \frac{dw_b}{dx} \right] = - \left[ \frac{\partial}{\partial y} (\theta_y \frac{\partial^2 w}{\partial y^2} + \theta_1 \frac{\partial^2 w}{\partial x^2}) + 2 \frac{\partial}{\partial x} (2\theta_{xy} \frac{\partial^2 w}{\partial x \partial y}) \right]_{y=0} \quad \text{---(2)}$$

$$\frac{d^2}{dx^2} \left( C_w \frac{d^2 \varphi_o}{dx^2} \right) - \frac{d}{dx} \left( C_b \frac{d \varphi_o}{dx} \right) - I_o(\theta_x)_{y=0} \frac{d^2 \varphi_o}{dx^2} = \left[ \theta_y \frac{\partial^2 w}{\partial y^2} + \theta_1 \frac{\partial^2 w}{\partial x^2} \right]_{y=0} \quad \text{---(3)}$$

引張フランジに対する微分方程式はつきのようである。

$$\frac{d^2}{dx^2} \left( B_b \frac{d^2 w_b}{dx^2} \right) - \frac{d}{dx} \left[ F(\theta_x)_{y=b} \frac{dw_b}{dx} \right] = \left[ \frac{\partial}{\partial y} (\theta_y \frac{\partial^2 w}{\partial y^2} + \theta_1 \frac{\partial^2 w}{\partial x^2}) + 2 \frac{\partial}{\partial x} (2\theta_{xy} \frac{\partial^2 w}{\partial x \partial y}) \right]_{y=b} \quad \text{---(4)}$$

$$\frac{d^2}{dx^2} \left( C_w \frac{d^2 \varphi_o}{dx^2} \right) - \frac{d}{dx} \left( C_b \frac{d \varphi_o}{dx} \right) - I_o(\theta_x)_{y=b} \frac{d^2 \varphi_o}{dx^2} = - \left[ \theta_y \frac{\partial^2 w}{\partial y^2} + \theta_1 \frac{\partial^2 w}{\partial x^2} \right]_{y=b} \quad \text{---(5)}$$

ただし、 $w_b$ 、 $\varphi_o$  はそれぞれ圧縮フランジの水平たわみ、ねじれ角、 $w_b$ 、 $\varphi_o$  はそれぞれ引張フランジの水平たわみ、ねじれ角、 $B_b$ 、 $C_b$ 、 $C_w$  および  $I_o$  はそれぞれフランジの水平曲げ剛性、純ねじり剛性、そり剛性、断面積およびフランジの重心に関する極2次モーメントである。

非弾性域では  $\theta_x$ 、 $\theta_y$ 、 $\theta_{xy}$ 、 $\theta_1$ 、 $B_b$ 、 $C_b$  やよび  $C_w$  がそれぞれ  $\theta'_x$ 、 $\theta'_y$ 、 $\theta'_{xy}$ 、 $\theta'_1$ 、 $B'_b$ 、 $C'_b$  やよび  $C'_w$  に変化する

として、つきの有効係数を導入する。

$$T_x = \frac{\partial x'}{\partial x}, T_y = \frac{\partial y'}{\partial y}, T_{xy} = \frac{\partial x'}{\partial xy}, T_1 = \frac{\partial}{\partial t}, T_{bb} = B_b'/B_b, T_{cb} = C_b'/C_b, T_{cw} = C_w'/C_w$$

応力一ひずみ関係式には、Richard と Blacklock<sup>2)</sup>の手えた式を用い、直交異方性板に対する Bleich<sup>3)</sup>の異方性概念を直交異方性板に適用することにすれば、各有效係数の値を算出することができる。

$x=0$ ,  $a$ で単純支持の境界条件を満足するように、

$$w = b \sum_{m=1}^{\infty} f(z) \sin m\pi x/a, w_0 = b \sum_{m=1}^{\infty} A_1 \sin m\pi x/a, y_0 = \sum_{m=1}^{\infty} A_2 \sin m\pi x/a,$$

$$w_b = b \sum_{m=1}^{\infty} A_3 \sin m\pi x/a, y_b = \sum_{m=1}^{\infty} A_4 \sin m\pi x/a, z = y/b$$

とかき、また係数  $A_1 \sim A_4$  は  $y=0$  やよび  $y=b$  におけるたわみとたわみ角の連続条件から、

$$A_1 = (f)_{z=0}, A_2 = (df/dz)_{z=0}, A_3 = (f)_{z=1}, A_4 = (df/dz)_{z=1}$$

として表わされるので、式(1)～(5)はすに關する常微分方程式になる。

以上の連立常微分方程式を解けばよいが、解析的な解を求めるのは困難なので、差分法を用いて數値計算を行ない、座屈荷重を正の最小固有值から求める。

直交異方性板の等価剛度の算定 図-1の多補剛腹板において、S 本の水平補剛材が不等間隔に設けられ、垂直補剛材はト本が等間隔に設けられているものとし、水平・鉛直補剛材はそれが同一断面とする。また、各水平補剛材の曲げ剛度を EI<sub>S</sub>、ねじり剛度を GJ<sub>S</sub>、各垂直補剛材の曲げ剛度を EI<sub>R</sub>とする。直交異方性板としての等価剛度を決定するにあたり、その剛度は位置のいかんにかかわらず均一であるとして、直交異方性板のひずみエネルギーと補剛材のそれとの等しくなるようになる。等価剛度算定の際のたわみ曲面は、つきのようすに4辺単純支持板に対するものと用いる。

$$w = \sin m\pi x/a \sum_{n=1}^{\infty} B_n \sin n\pi y/b \quad \cdots \cdots (6)$$

式(6)において  $n$  を第 2 項までとり、 $B_1, B_2$  にて純曲げを仮定する異方性板の結果を利用して、 $a/b = 2/3$  で代表させれば等価剛度はつきのようになる<sup>4)</sup>。

$$D_x = \frac{b}{a} + \frac{EI_S}{b} \frac{\sum_{z=1}^{\infty} (\sin z\pi + 0.52 \sin 2\pi z)^2}{0.6352}$$

$$D_y = D + \frac{EI_R}{b} \frac{(r+1)b}{a}$$

$$H = D + \frac{GJ_S}{b} \frac{\sum_{z=1}^{\infty} (\cos z\pi + 1.04 \cos 2\pi z)^2}{2.082}$$

ただし、 $D$  は腹板主板の曲げ剛度、 $H (= D_1 + 2D_{xy})$  は有効ねじり剛度である。

数値計算例 図-2 に  $D_x, D_y$  と座屈モーメント  $M_{cr}$  との関係の一例を示す。ただし、 $M_{cr}$  は降伏モーメント、 $\sigma_y$  は降伏応力、 $a, b, c$  はそれを取扱うランジ厚、フランジ幅であり、また応力一ひずみ関係の非線形性を表すパラメタの値  $r = 5$  とした。フランジの曲げ剛度の大きい場合には  $D_y$  を高めることにより補剛の効果が達成されると、フランジ曲げ剛度の低い場合には  $D_x$  が不足していなると  $M_{cr}$  を高めるだけでは、補剛の充分な効果が得られないことが推察される。

詳しい数値計算結果は講演会当日に述べる。

1) 三上部藏: 曲げを假する薄肉断面に対する研究、名古屋大学学位請求論文、昭和47年12月。

2) Richard, R.M. and J.R. Blacklock: Finite Element Analysis of Inelastic Structures, AIAA Journal, Vol. 7, No. 3, 1969.

3) Bleich, F.: Buckling Strength of Metal Structures, McGraw-Hill, New York, 1952.

4) 三上・菅原・武田: 鋼箱桁の総局強度の近似算定法、土木学会論文報告集、1-1, 投稿中。

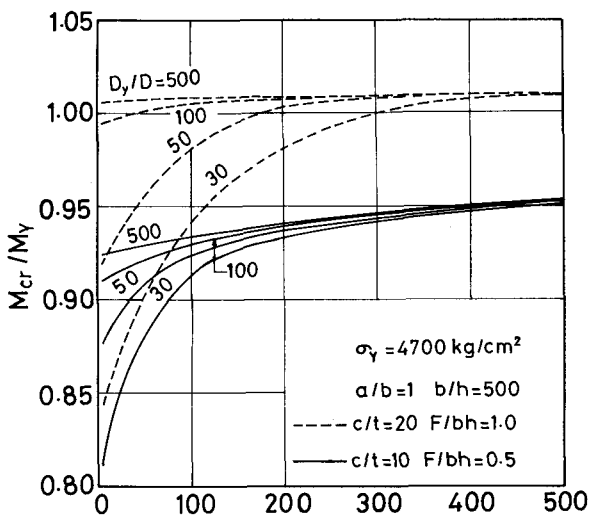


Fig.2